

II-33 2つの開口部をもつ長方形港湾の湧水振動理論

阿南工業高等専門学校 正員 ○島田富美男
徳島大学工業短期大学部 正員 村上 仁士

1. まえがき: 前報¹⁾では、図-1に示すような2つの開口部をもつ長方形港湾の湧水振動について述べたが、開口部における波のエネルギー損失は考慮していないかった。そこで、本報は開口部における波のエネルギー損失を表わすために、エネルギー損失係数を導入した湧水振動理論を導き、開口部の位置およびエネルギー損失係数の変化に伴う湧水振動特性について検討した。

2. 理論解: 解析にあたり、図-2に示すような座標系をとり、湾内外の水深は一定であると仮定する。 $I_{open-Goda}$ ²⁾と同様な手法を用いて、湾内外の水位上昇量を求め、著者の一人が行なったように開口部で湾内外の水位差が流速の2乗に比例するという条件のもとで、湾奥($0, -l$)における波高増幅率 R (入射波高の2倍に対する湾奥の波高)を求めるところとなる。

$$R = \frac{e-d}{P} \cdot \frac{1-S_2}{\sinh k l} C \quad (1)$$

$$\text{ただし}, S_2 = \frac{4P \sinh k l}{\pi(e-d)} \sum_{n=1}^{\infty} \frac{\{\sin(n\pi e/2P) - \sin(n\pi d/2P)\}}{n^2 B_n \tanh B_n k l} \cdot \cos^2(\frac{n\pi}{2}) \quad (2)$$

であり、 C は次の4次方程式を解くことによて求められる。

$$C^4 + 2\lambda \psi'_1 C^3 + \lambda^2 [\psi'^2_1 + \int \psi'_2 - \frac{e-d}{P} \cdot (\cot k l - S_1)]^2 \cdot C^2 - \lambda^2 = 0 \quad (3)$$

$$\text{ここで}, \lambda = \frac{g\pi k}{4fH} \quad (4), \quad S_1 = \frac{8P^2}{\pi^2(e-d)^2} \sum_{n=1}^{\infty} \frac{\{\sin(n\pi e/2P) - \sin(n\pi d/2P)\}^2}{n^2 B_n \tanh B_n k l} \cdot \cos^2(\frac{n\pi}{2}) \quad (5)$$

$$\psi'_i = \frac{e}{e-d} \psi_i(k e) + \frac{d}{e-d} \psi_i(k d) - \frac{e+d}{e-d} \psi_i(k \frac{e+d}{2}) + \psi_i(k \frac{e-d}{2}), \quad i=1, 2 \quad (6)$$

$$\text{ただし}, \psi_i(kx) = \frac{2}{\pi} kx \int_0^{kx} \frac{\sin^2 \alpha}{\alpha^2 / (kx)^2 - \alpha^2} d\alpha, \quad \psi_i(kx) = \frac{2}{\pi} kx \int_{kx}^{\infty} \frac{\sin^2 \alpha}{\alpha^2 / (kx)^2 - \alpha^2} d\alpha \quad (7)$$

$$\beta_m = \sqrt{\left(\frac{n\pi}{2kP}\right)^2 - 1} \quad (8), \quad f \text{は損失係数}, k \text{は波数}, H \text{は入射波高}, g \text{は重力加速度である}.$$

3. 湧水振動特性

図-3は、A, BおよびC型の港湾について式(1)から計算した湧水振動曲線の一例である。図から、エネルギー損失が同じであれば、A型およびB型の R はほぼ等しく、C型の R がそれより若干大きい値をもつことがわかる。また、開口部の位置によって波高増幅率はたいして影響を受けないと思われる。

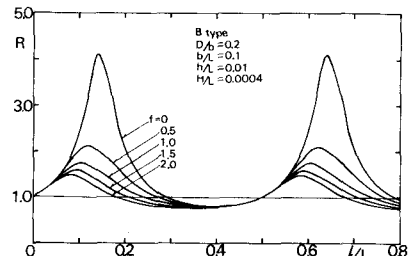
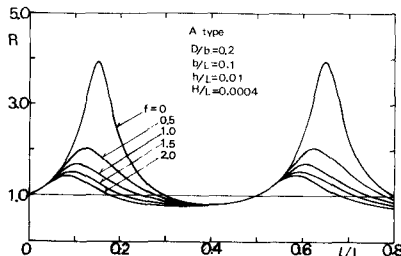


図-3 湧水振動特性

なお、波のエネルギー損失が大きくなれば、共振時の波高増幅率は急激に減少するので、開口部で失なわれる波のエネルギー損失の評価が重要になるであろう。

(1) f と R の関係 図-4

は、A, B および C 型によ

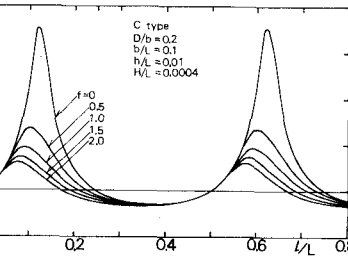


図-3 波水振動特性

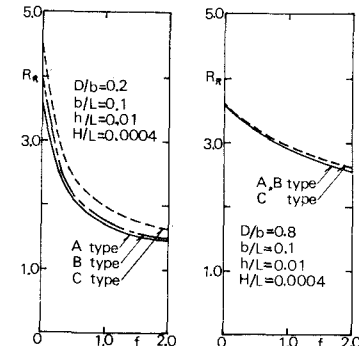


図-4 f と R_R の関係

てエネルギー損失係数が共振時の波高増幅率 R_R にどのような影響を与えるか示したものであり。開口比 D/b が小さい ($D/b = 0.2$) ときは、 D/b が大きい ($D/b = 0.8$) 場合に比べ f の増加につれて急激に波高増幅率が減少する。また、 $D/b = 0.8$ の場合、A, B および C 型による R_R の変化はほとんどないが、 $D/b = 0.2$ では、開口部の相違によって、 R_R に若干の差異が表われてくる。しかし、これらの差異は工学的には意味をもたないものと考えられる。したがって、エネルギー損失係数による波高増幅率への影響は開口部の型によって決まる。

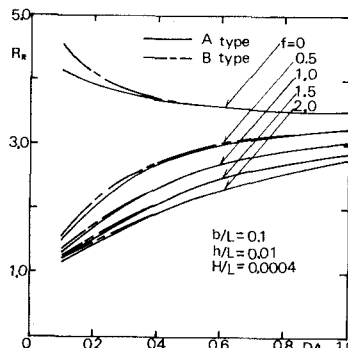
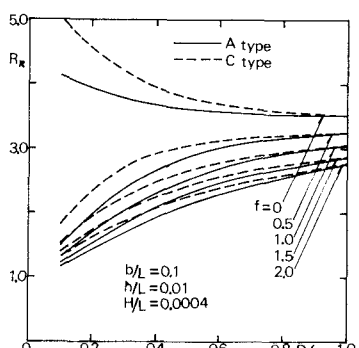


図-5 D/b と R_R の関係



るのではなく、開口幅の大きさによって決まってくると思われる。図-5 は、各開口部の形状による D/b に対する R_R を比較したもので、A型とB型の R_R は D/b にかかわらずほぼ等しく、C型がこれらの場合よりもいくぶん R_R が大きくなる。しかし、前にも述べたように、これらの差異が工学的に意味があるとは考えられず、A型およびB型の計算にあたり、実際には比較的簡単なC型の計算でそれらの特性を把握できるであろう。

(2) f と λ_L の関係 図-6 にエネルギー損失係数 f と共振波長の関係を示している。図から、 $D/b = 0.8$ のときは、 f により共振波長はほとんど変化しないが、 $D/b = 0.2$ のときは、 f が大きくなるにつれ共振波長は短くなる。またA, B および C 型の場合の共振波長の差がより大きくなっている。したがって、 f が大きくなれば開口部の型による差はほとんどなくなる。

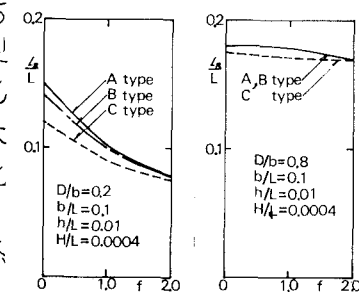


図-6 f と λ_L の関係

4. あとがき： エネルギー損失を考慮に入れて、2つの開口部をもつ港湾の波水振動について考察し興味ある成果を得たが、開口比が一定であれば開口部の型にかかわらずエネルギー損失係数が等しいかどうかは実験によらなければならぬ。ここでは、港湾の形状応答について行なったが、周波数応答については講演時報告の予定である。

参考文献

- 1) 村上・島田：2つの開口部をもつ波水振動特性、第31回年講、pp. 59-60, 1976.
- 2) Ippen, A.T. and Y. Goda: Wave induced oscillations in harbors, Hydrodynamics Lab., MIT, Rep. No. 59, July, 1963.
- 3) 村上・野口：波水振動における防波堤開口部の波のエネルギー損失について、第23回海講、pp. 416-421, 1976.